

| | | |
|-----------------|---------------|-------------------|
| A_f | 频谱分析仪带宽 | Hz |
| F_λ | 黑体光谱能量因子 | |
| G | 增益 | dB |
| E | 黑体辐照度 | W/cm ² |
| NEP | 噪声等效功率 | W |
| P | 辐射功率 | W |
| R_{so} | 黑体响应率 | V/W; A/W |
| R_k | 探测器相对光谱响应率 | V/W |
| R_{st} | 标准电阻 | Ω |
| R_d | 探测器电阻 | Ω |
| R_L | 负载电阻 | Ω |
| R_0 | 零偏压结电阻 | Ω |
| T | 黑体温度 | K |
| $S(\lambda)$ | 参考探测器的相对光谱响应率 | V/W |
| V_n | 探测器噪声电压 | V |
| V_s | 信号电压 | V |
| Z_d | 探测器阻抗 | Ω |
| τ | 时间常数 | s |
| λ | 辐射波长 | μm |

附加说明：

本标准由中华人民共和国机械电子工业部提出。

本标准由中华人民共和国机械电子工业部第十一研究所、昆明物理所负责起草。

本标准主要起草人胡德明、顾伯奇、陈勤。



全文阅读已结束，下载本文需要使用

所有的测试均应在具有良好电磁屏蔽的条件下进行,测试系统的接地电阻应小于 0.1Ω 。

2.2.6.2 振动

在测试过程中,应避免强的机械冲击和振动。

2.2.6.3 洁净度

所有测试均在洁净的房间内进行,特殊要求者应在详细规范中规定。

2.2.6.4 气候环境条件

所有测试均在正常大气条件下进行,特殊要求者应在详细规范中规定。

正常大气条件:

温度: $15\sim35^\circ\text{C}$;

相对湿度: $45\%\sim75\%$;

大气压力: $86\sim106\text{ kPa}$ 。

仲裁条件:

温度: $25\pm1^\circ\text{C}$;

相对湿度: $48\%\sim52\%$;

大气压力: $86\sim106\text{ kPa}$ 。

2.2.7 在测试探测器的光谱响应时,被测探测器的光学路程应与参考探测器相等。

3 测试方法

3.1 方法 1010: 黑体响应率

3.1.1 定义

黑体响应率是指探测器输出的电信号的基频电压的均方根值(开路)或基频电流的均方根值(短路)与入射辐射功率的基频分量的均方根值之比。用 R_{bb} 表示。

3.1.2 测试方框图

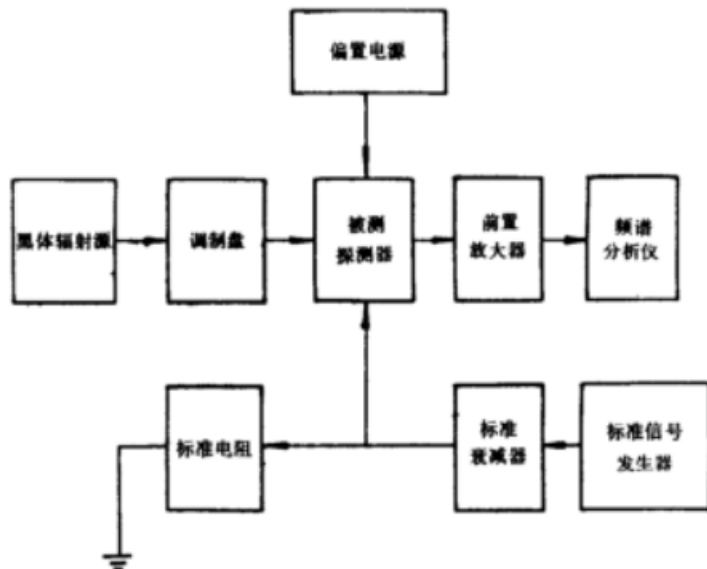


图 1

3.1.3 测量仪表

3.1.3.1 黑体辐射源

黑体温度为 500 K ,从腔底到腔长的 $2/3$ 处的温差小于 1 K ,在 2 h 内,温度的稳定性优于 $\pm 0.5\text{ K}$;黑体辐射源的有效发射率优于 0.99 ;带有调制盘并给出调制转换因子,优选下列各频率为调制频率:1, 10, 12.5, 60, 300, 400, 600, 800, 1 000, 1 250, 2 500 和 20 000 Hz;优选下列各孔径为黑体辐射孔径:

0.5, 1, 2, 3, 4, 5, 6, 7, 8, 10 mm。被测探测器与黑体辐射孔径之间的距离可调, 入射到被测探测器整个灵敏面上的黑体辐照应是均匀的。黑体辐射源应定期送计量部门检定。

3.1.3.2 前置放大器

前置放大器与被测探测器实现最佳源阻抗匹配, 其噪声系数应小于1 dB, 前置放大器应工作在线性范围, 并具有平坦的幅频特性, 其带宽和增益应满足测试要求, 增益的稳定度应优于±0.1%。

3.1.3.3 标准信号发生器

标准信号发生器输出均方根值确知的正弦波电压, 其精度应优于±1%, 输出电压可调, 对50 Ω 负载能输出不小于1 V 的均方根值, 频率可调, 其可调范围应满足测试要求。

3.1.3.4 标准衰减器

标准衰减器的频率范围应满足测试要求, 其精度应优于±1%。

3.1.3.5 偏置电源

偏置电源采用电池, 其内阻与负载电阻相比可忽略不计, 偏置电源应装有一只高阻电压表或一只低阻电流表, 当这些仪表装在偏置电路中时, 它的内阻应不影响测量精度。

3.1.3.6 探测器电路

探测器电路包括探测器、探测器的负载电阻、联结偏置电源和联结探测器——前置放大器的电路, 该电路还包括一只注入信号的标准电阻 R_{cal} , 被测探测器通过它接地, R_{cal} 的阻值与电路的阻值相比是很小的, 通常用1 Ω 电阻。

3.1.3.7 频谱分析仪

频谱分析仪的频率范围应满足测试要求, 其带宽应小于中心频率的1/10, 电压读数精度应优于±1%, 积分时间在0.1~100 s范围内可调, 峰值因子不小于4。当调制频率小于等于12.5 Hz时, 应采用锁相放大器, 锁相放大器应符合3.3.3.7条的要求。

3.1.4 测量步骤

3.1.4.1 准直

将被测探测器置于黑体辐射源的光轴上, 使辐射信号垂直入射到被测探测器上, 被测探测器灵敏面的法线与辐射信号的入射方向的夹角应小于10°, 调节黑体辐射孔径与被测探测器之间的距离, 使被测探测器输出足够大的信号。

3.1.4.2 确定偏置范围

调节偏置电源, 确定出被测探测器的偏置范围, 但不得超过被测探测器连续工作时的最大偏置值。

3.1.4.3 测量信号电压 V_s

调节频谱分析仪的中心频率与调制频率 f 相同, 标准信号发生器的输出调到零, 记下频谱分析仪的读数 v_1 ; 然后移去辐照, 将标准信号发生器的频率置于 f , 调节标准衰减器, 使频谱分析仪的读数仍为 v_1 , 记下标准信号发生器的输出信号电压和标准衰减器的衰减量, 从输出信号电压中扣除标准衰减器的衰减量, 得出被测探测器的信号电压 V_s 。

对各种偏置值重复上述测量, 得出不同偏置值下的信号电压 V_s 。

3.1.5 计算

3.1.5.1 计算黑体辐照度

黑体辐照度 E 为:

$$E = \alpha \frac{\epsilon \sigma (T^4 - T_0^4) A}{\pi l^2} \quad \dots \dots \dots \dots \dots \dots \dots \quad (1)$$

式中: ϵ —— 黑体辐射源的有效发射率;

α —— 调制因子;

σ —— 斯蒂藩-玻尔兹曼常数;

T —— 黑体温度, K;

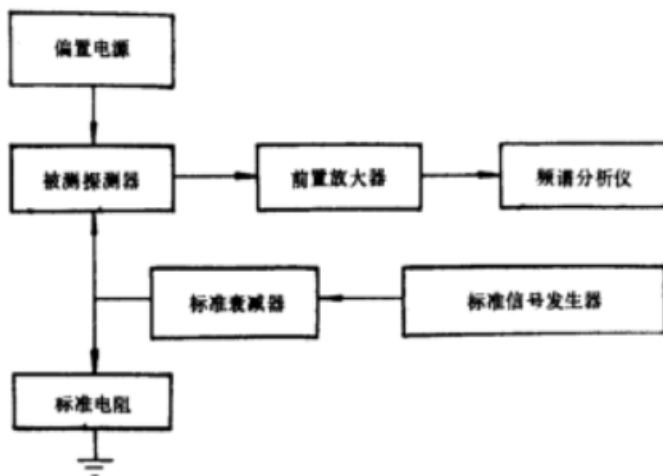


图 2

3.2.3 测量仪表

测量仪表应符合 3.1.3.2~3.1.3.7 条的要求。

3.2.4 测量步骤

3.2.4.1 测量包括被测探测器在内的测试系统的噪声 v_N

偏置加在探测器上, 将标准信号发生器的输出信号调到零, 用频谱分析仪测量噪声 v_N , 改变频谱分析仪的中心频率, 记录不同频率下的 v_N 。

对各种偏置值重复上述测量, 记录不同偏置下的噪声 v_N 。

3.2.4.2 测量除去被测探测器后的测试系统的噪声 v_n

用阻值约等于被测探测器阻值的精密线绕电阻代替被测探测器, 该线绕电阻器的温度应保持在使其产生的热噪声远小于放大器的噪声, 对于很高阻抗的探测器(例如热释电探测器), 应将被测探测器连同它的阻抗变换器作为探测器的一个整体, 用频谱分析仪测量噪声 v_n , 改变频谱分析仪的中心频率, 记录不同频率下的噪声 v_n 。

3.2.4.3 测量测试系统的增益 G

标准信号发生器的频率置于 f , 把标准衰减器调到比被测探测器的噪声约大 100 倍的标准信号, 跨接到标准电阻 R_{cal} 上, 将频谱分析仪调到标准信号的频率, 测量跨接在 R_{cal} 上的电压和频谱分析仪上的电压, 后者被前者除, 得出增益 G 。

3.2.5 计算

探测器噪声 v_n 为:

$$v_n = \frac{(v_N^2 - v_n^2 - v_{Ld}^2 \cdot R_d^2 / R_L^2)^{\frac{1}{2}}}{G(\Delta f)^{\frac{1}{2}}} \quad \dots \dots \dots \quad (4)$$

式中: v_{Ld} —— 负载电阻的热噪声, V;

R_L —— 负载电阻, Ω ;

R_d —— 探测器电阻, Ω ;

Δf —— 频谱分析仪带宽, Hz。

3.2.6 规定条件

- a. 环境温度, K;
- b. 探测器工作温度, K;
- c. 频谱分析仪带宽, Hz;
- d. 偏置值, V;
- e. 探测器电阻, Ω ;

f. 负载电阻, Ω 。

3.3 方法 1030: 光谱响应

3.3.1 定义

探测器的光谱响应是指探测器的相对响应与入射辐射波长的函数关系(典型曲线如图 3 所示),用 R_λ 表示。

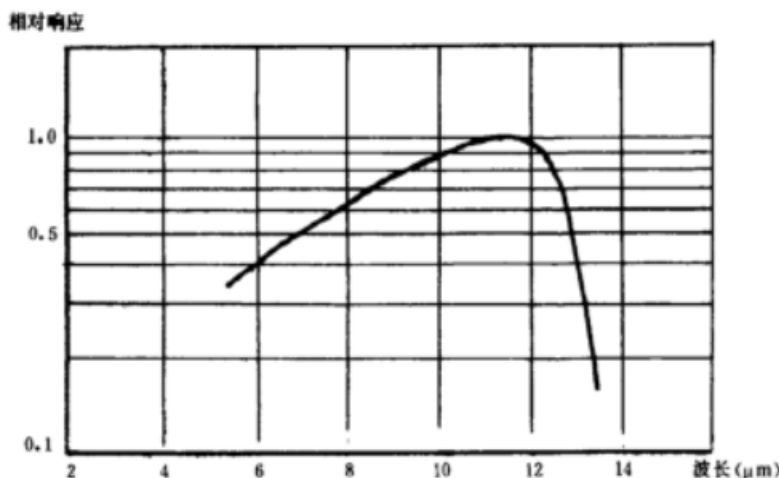


图 3

3.3.2 测试方框图

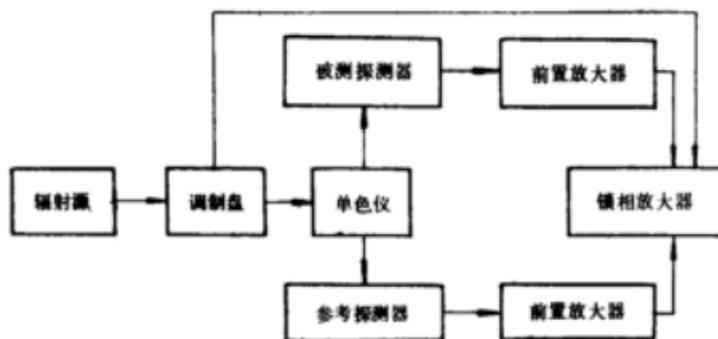


图 4

3.3.3 测量仪表

3.3.3.1 辐射源

用灼热的能斯特灯或硅碳棒作辐射源,电源的电压稳定度应优于±1%。电流稳定度应优于±0.5%,硅碳棒或能斯特灯应放在适宜的罩子或套筒内。

3.3.3.2 调制盘

在辐射源与单色仪之间紧靠单色仪入射狭缝处放置两个调制盘,即在参考探测器的光路中放置一调制盘,其调制频率为 10 Hz 或 12.5 Hz,在被测探测器的光路中放置一调制盘,其调制频率可在下列频率点中选取:10, 12.5, 60, 800, 1 000 Hz。

3.3.3.3 单色仪

单色仪波长的可调范围应能覆盖被测探测器的光谱响应,其单色辐射束的波长宽度应不大于中心

3.4.4 测量步骤

黑体响应率 R_{bb} 的测量按 3.1.4 条的规定进行。

噪声电压 V_n 的测量按 3.2.4 条的规定进行。

3.4.5 计算

3.4.5.1 计算黑体探测率

探测器的黑体探测率 D_{bb}^* 为：

$$D_{bb}^* = \frac{R_{bb}}{V_n} \sqrt{A_n \cdot \Delta f} \quad (6)$$

式中： A_n —— 探测器标称面积， cm^2 ；

Δf —— 频谱分析仪带宽。

3.4.5.2 计算光谱探测率

光谱探测率 D_λ^* 为：

$$D_\lambda^* = \frac{D_{bb}^*}{\sum_\lambda F_\lambda \cdot R_\lambda} \cdot R_\lambda \quad (7)$$

式中： F_λ —— 黑体光谱能量因子；

R_λ —— 探测器的相对光谱响应。

注：附录 A 给出了黑体温度为 500 K，背景温度为 300 K 时，辐射波长在 1~30 μm （波长间隔为 0.5 μm ）的 F_λ 值。

3.4.6 规定条件

- 环境温度，K；
- 探测器工作温度，K；
- 黑体温度，K；
- 调制频率，Hz；
- 频谱分析仪带宽，Hz；
- 探测器面积， cm^2 ；
- 偏置值，V。

3.5 方法 1050：噪声等效功率

3.5.1 定义

噪声等效功率是指使探测器的输出信噪比为 1 时所需入射到探测器上的入射功率，用 NEP 表示。

3.5.2 测试方框图

测量信号 V_s 的测试方框图见图 1。测量噪声 V_n 的测试方框图见图 2。

3.5.3 测量仪表

测试信号 V_s 的测量仪表应符合 3.1.3 条的要求；测试噪声 V_n 的测量仪表应符合 3.1.3.2~3.1.3.7 条的要求。

3.5.4 测量步骤

3.5.4.1 测量信号电压 V_s

- 准直

被测探测器的准直按 3.1.4.1 条的规定进行。

- 确定偏置范围

偏置的确定按 3.1.4.2 条的规定进行。

- 测量信号电压 V_s

信号电压 V_s 的测量按 3.1.4.3 条的规定进行。

3.5.4.2 测量噪声电压 V_n

噪声电压 V_n 的测量按 3.2.4 条的规定进行。

3.5.5 计算

3.5.5.1 计算入射到探测器上的辐射功率

入射到探测器上的辐射功率 P 按 3.1.5.1 和 3.1.5.2 条规定的方法计算。

3.5.5.2 计算探测器的噪声等效功率

探测器的噪声等效功率 NEP 为：

$$NEP = \frac{P}{V_s/V_n} \quad (8)$$

式中： P —— 入射到探测器上的辐射功率，W；

V_s —— 信号电压，V；

V_n —— 噪声电压，V。

3.5.6 规定条件

- a. 环境温度, K;
- b. 探测器的工作温度, K;
- c. 黑体温度, K;
- d. 调制频率, Hz;
- e. 频谱分析仪的带宽, Hz。

3.6 方法 1060: 时间常数

时间常数用 τ 表示，通常采用下面两种表达方法。

3.6.1 脉冲响应时间

3.6.1.1 定义

脉冲响应时间是指探测器对光脉冲响应的延迟时间，用 τ_r 表示上升时间，用 τ_f 表示下降时间。

如果辐射脉冲的上升和下降时间与测量的时间常数相比很短，而且脉冲的上升和下降都遵从指数规律，则上升时间常数等于信号电压（或电流）上升到最大值的 0.63 时所需的时间，下降时间常数等于信号电压（或电流）下降到最大值的 0.37 时所需的时间，如图 5(a) 所示。如果脉冲的上升和下降不遵从指数规律，则上升时间常数是指信号电压（或电流）从最大值的 10% 上升到 90% 时所需的时间，下降时间常数是指信号电压（或电流）从最大值的 90% 下降到 10% 时所需的时间，如图 5(b) 所示。

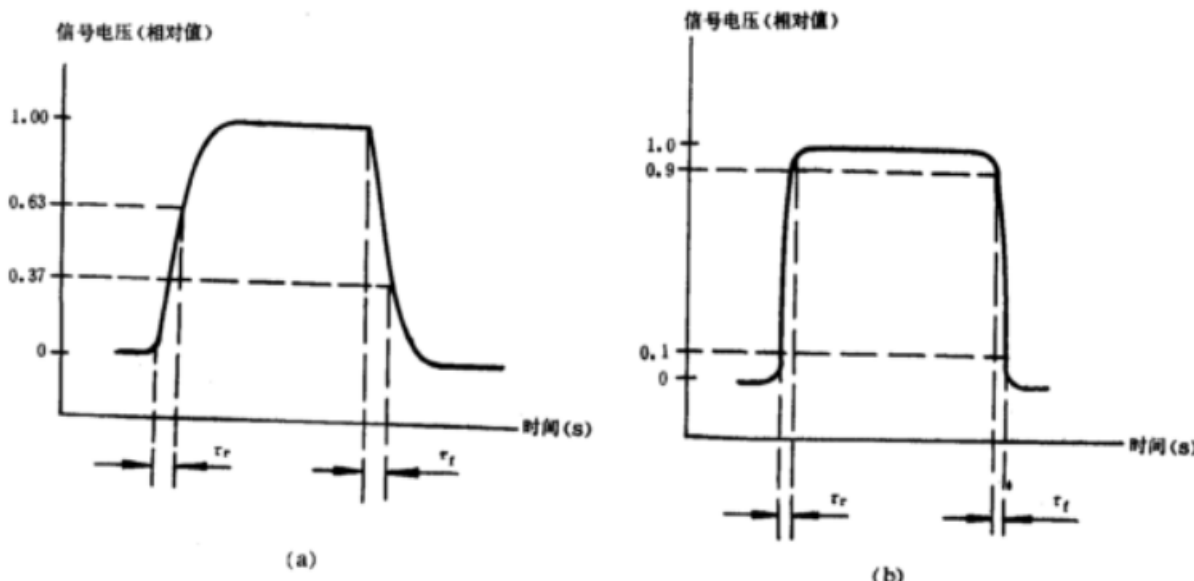


图 5

3.6.1.2 测试方框图

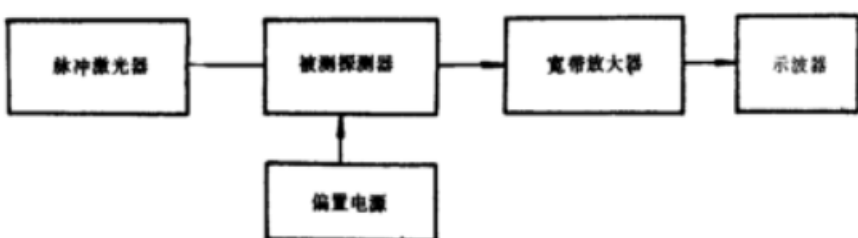


图 6

3.6.1.3 测量仪表

a. 脉冲激光器

脉冲激光器的波长应在被测探测器的工作波段范围内,矩形脉冲的前、后沿均应小于1 ns,应使探测器工作在线性范围。

b. 宽带放大器

宽带放大器的带宽应满足测试要求,增益大于30 dB,增益的稳定度应优于±0.1%,有足够的动态范围和平坦的幅频特性。

c. 示波器

示波器的带宽应满足测试要求。

3.6.1.4 测量步骤

a. 准直

调节脉冲激光器的微调机构,使激光束垂直入射到被测探测器的灵敏面上。

b. 直线性验证

调节激光光路中的衰减片的衰减量,使被测探测器工作在线性范围。

c. 测量脉冲响应时间

在示波器上直接读出上升或下降时间,按定义确定出被测探测器的脉冲响应时间 τ 。

3.6.1.5 规定条件

a. 探测器工作温度,K;

b. 激光脉冲的前沿和后沿,s;

c. 脉宽,s;

d. 激光功率,W;

e. 激光器的工作波长, μm 。

3.6.2 频率响应

3.6.2.1 定义

频率响应是指探测器的响应率随调制频率的变化关系。

如果探测器的响应率与调制频率的关系满足下式:

$$R(f) = \frac{R(0)}{\sqrt{1 + 4\pi^2 f^2 \tau^2}} \quad (9)$$

$$\tau = \frac{1}{2\pi f} = \frac{1}{\omega} \quad (10)$$

式中: ω ——角频率,rad/s。

则时间常数是指响应率下降到最大值的0.707时的角频率 ω 的倒数值,与该角频率对应的频率 f 就是探测器的响应率下降到最大值的0.707时的调制频率(即截止频率),如图7所示。

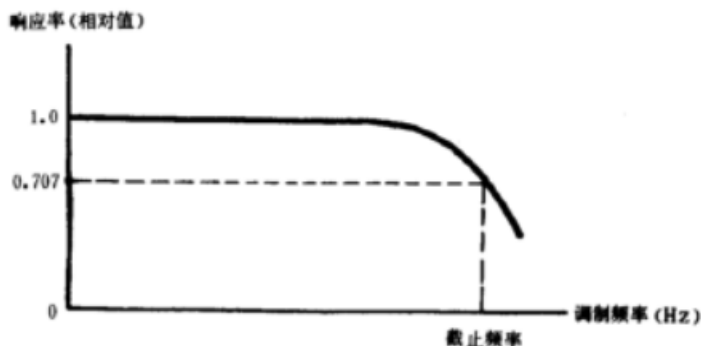


图 7

3.6.2.2 测试方框图

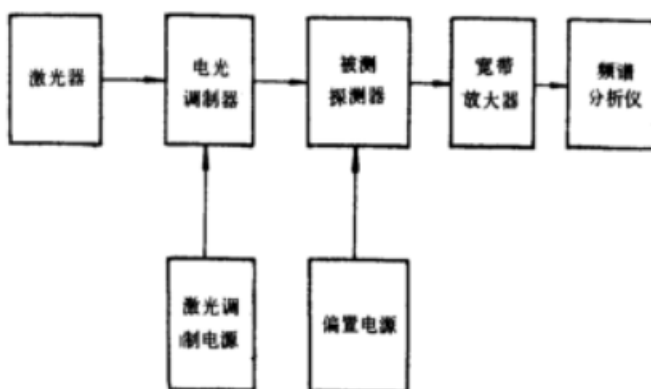


图 8

3.6.2.3 测量仪表

a. 激光器

激光器应选用单模、偏振的连续波激光器，其波长应在被测探测器的工作波段范围内，功率稳定度应优于±4%。

b. 激光调制电源

激光调制电源应能输出电压可知的正弦波信号，输出电压的大小应能满足测量要求，电压稳定度应优于±1%。频率稳定度应优于 10^{-4} 。输出阻抗应与调制器阻抗相匹配。

c. 电光调制器

电光调制器的带宽应满足测试要求。

d. 宽带放大器

宽带放大器应符合 3.6.1.3 条 b 的要求。

e. 频谱分析仪

频谱分析仪的频率范围应满足测试要求。

3.6.2.4 测量步骤

a. 准直

调节激光器的微调机构,使激光束垂直投射到被测探测器的灵敏面上。

b. 直线性验证

直线性验证按 3.6.1.4 条 b 的规定进行。

c. 测量响应频率

加上偏置,改变激光调制电源的频率,用频谱分析仪测量探测器的响应,记录响应率下降到最大值的 0.707 时的调制频率。对各种偏置值重复上述测量,得出频率响应曲线族。

3.6.2.5 规定条件

- a. 电光调制器的调制度, %;**
- b. 调制电压, V;**
- c. 探测器工作温度, K;**
- d. 频谱分析仪带宽, Hz;**
- e. 激光功率, W;**
- f. 激光器的工作波长, μm .**

3.7 方法 1070: 面积**3.7.1 标称面积****3.7.1.1 定义**

标称面积是指设计者设计的探测器信号响应平面,它表示探测器的真实响应面积的近似值,用 A_n 表示。

3.7.1.2 测试方框图

图 9

3.7.1.3 测量仪表**a. 光学显微镜**

光学显微镜的放大倍数为 40~1 500 倍, X、Y 方向可调, 调节精度为 $\pm 1 \mu\text{m}$, 测微目镜分度值为 $0.5 \mu\text{m}$, 标准分划板分度值为 $0.5 \mu\text{m}$, 内置可转棱镜自由选择方向。

b. 电视摄像机

电视摄像机的放大倍数大于或等于 10 倍, 图像畸变不大于 1%。

c. 显示器

显示器的屏幕大于 31 cm。

d. 图象数字转换

图象数字转换采用 8~16 位 A/D 变换, $3\frac{1}{2} \sim 4\frac{1}{2}$ 位数码显示, 数字转换的不确定度优于 1%。

3.7.1.4 测量步骤**a. 系统校正**

分别选定物镜和目镜放大倍数, 把被测探测器的芯片放入视场, 调节图象大小与分划板吻合。

光点测微计采用电视测微，仪器精度优于±2%。

e. 前置放大器

前置放大器应符合 3.1.3.2 条的要求。

f. 调制盘

调制盘应符合 3.3.3.2 条的要求。

g. 频谱分析仪

频谱分析仪应符合 3.1.3.7 条的要求。

3.7.2.4 测量步骤

a. 系统校正

把几何尺寸已知的光电导样品装进测试台，调节光点扫描装置，插入衰减片，使被测探测器工作在线性范围，得出标准图样。

b. 测量

用被测探测器替换光电导样品，调节扫描装置，记录相对应的信号电压及其信号电压分布图样。上述测量至少重复三次，求其平均值。

3.7.2.5 计算

探测器的有效面积 A_e 为：

$$A_e = \iint_S R(x, y) dx dy / R_{\max} \quad (13)$$

式中： R_{\max} —— $R(x, y)$ 的最大值；

S —— 探测器基片面积， cm^2 。

3.7.2.6 规定条件

a. 光源；

b. 光斑大小， μm ；

c. 激光器波长， μm ；

d. 相对湿度，%；

e. 环境温度，K；

f. 探测器标称面积， cm^2 。

3.8 方法 1080：阻抗

探测器的阻抗是指探测器两端的电压变化与通过探测器的瞬时电流之比。表达式为：

$$Z_d = R_d + jX_d \quad (14)$$

式中： R_d —— 阻抗实部；

X_d —— 阻抗虚部。

3.8.1 零偏压结电容

3.8.1.1 定义

零偏压结电容是指探测器两端的电压变化接近于零时所测得的电容。

3.8.1.2 测试方框图

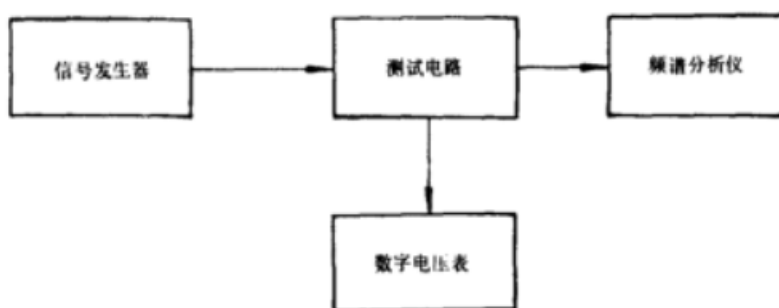


图 11

3.8.1.3 测量仪表

a. 信号发生器

信号发生器的频率稳定度优于±0.1%，输出电压稳定度优于±0.2%。

b. 频谱分析仪

频谱分析仪应符合 3.1.3.7 条的要求。

c. 数字电压表

数字电压表的输入阻抗应远大于被测探测器的阻抗，电压灵敏度优于 $1 \mu\text{V}$ ，电压不确定度优于 0.2%。

d. 标准电阻箱

标准电阻箱的阻值范围应满足测试要求，阻值的不确定度优于±0.1%。

3.8.1.4 测量步骤

a. 电路连接

光照面为 P 型时，按图 12 的测试电路连接被测探测器，放入屏蔽盒。

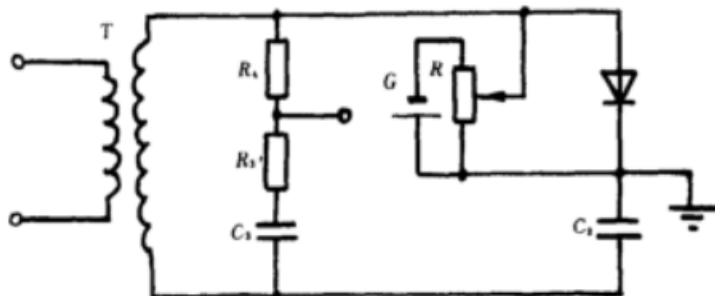


图 12

T —— 高频变压器

光照面为 n 型时，按图 13 的测试电路连接被测探测器，放入屏蔽盒。

3.8.4.4 测量步骤

a. 电路连接

按图 17 的测试电路连接被测探测器, 放入屏蔽盒。

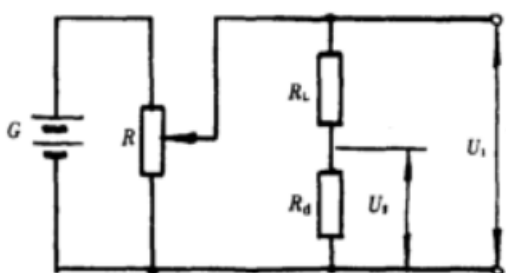


图 17

b. 测量

在标准电阻箱上选择与被测探测器的阻值同数量级的电阻, 调节直流电压, 从数字电压表上记下 U_1 、 U_2 和 R_L 的数值。

3.8.4.5 计算

探测器的直流电阻 R_d 为:

$$R_d = \frac{U_2}{U_1 - U_2} R_L \quad (18)$$

式中: U_1 —— 总电压,V;

U_2 —— 探测器两端的直流电压,V;

R_L —— 负载电阻, Ω 。

3.8.4.6 规定条件

- a. 探测器两端的直流电压,V;
- b. 相对湿度,%;
- c. 环境温度,K。

3.8.5 高电阻

3.8.5.1 定义

高电阻是指电阻值等于或大于 $10^{10} \Omega$ 的热释电探测器的电阻。

3.8.5.2 测试方框图



图 18

3.8.5.3 测量仪表

a. 稳压电源

稳压电源应符合 3.8.4.3 条 a 的要求。

b. 微电流放大器

微电流放大器用静电管作第一级, 漏电电流小于或等于 $10^{-15} A$, 总增益大于或等于 100 倍, 增益稳定性 ±0.2%, 反馈系数 β 取 -1, 微电流放大器的等效输入阻抗 R_i 应远小于被测探测器的阻抗。

c. 数字电压表

附录 A
黑体光谱能量因子 F_λ
(补充件)

A1 下表给出了黑体温度为 500 K, 背景温度为 300 K 时, 辐射波长在 1~30 μm(波长间隔为 0.5 μm) 的 F_λ 值。

表 A1

| 波长间隔, μm | 黑体光谱能量因子 F_λ (500 K 黑体) | 波长间隔, μm | 黑体光谱能量因子 F_λ (500 K 黑体) |
|----------|------------------------------------|-----------|------------------------------------|
| 1.0~1.5 | 7.0×10^{-4} | 9.5~10.0 | 0.033 |
| 1.5~2.0 | 3.7×10^{-4} | 10.0~10.5 | 0.029 |
| 2.0~2.5 | 0.0032 | 10.5~11.0 | 0.027 |
| 2.5~3.0 | 0.012 | 11~12 | 0.045 |
| 3.0~3.5 | 0.024 | 12~13 | 0.035 |
| 3.5~4.0 | 0.038 | 13~14 | 0.029 |
| 4.0~4.5 | 0.050 | 14~15 | 0.022 |
| 4.5~5.0 | 0.058 | 15~16 | 0.019 |
| 5.0~5.5 | 0.062 | 16~17 | 0.015 |
| 5.5~6.0 | 0.063 | 17~18 | 0.013 |
| 6.0~6.5 | 0.061 | 18~19 | 0.011 |
| 6.5~7.0 | 0.058 | 19~20 | 0.0084 |
| 7.0~7.5 | 0.054 | 20~22 | 0.015 |
| 7.5~8.0 | 0.050 | 22~24 | 0.0093 |
| 8.5~8.5 | 0.045 | 24~26 | 0.0072 |
| 8.5~9.0 | 0.041 | 26~28 | 0.0058 |
| 9.0~9.5 | 0.037 | 28~30 | 0.0029 |

附录 B
参数符号
(补充件)

B1 下表给出了红外探测器的参数符号、名称和单位。

表 B1

| 符 号 | 名 称 | 单 位 |
|-------------------|-----------|---------------------------|
| A_e | 探测器有效面积 | cm ² |
| A_n | 探测器标称面积 | cm ² |
| C_0 | 零偏压结电容 | pF |
| C_s | 热释电探测器的电容 | pF |
| D_{bb}^* | 黑体探测率 | cm · Hz ^{1/2} /W |
| D_λ^* | 光谱探测率 | cm · Hz ^{1/2} /W |

续表 B1

| 符 号 | 名 称 | 单 位 |
|------------------|---------------|-------------------|
| f | 调制频率 | Hz |
| Δf | 频谱分析仪带宽 | Hz |
| F_λ | 黑体光谱能量因子 | |
| G | 增益 | dB |
| E | 黑体辐照度 | W/cm ² |
| NEP | 噪声等效功率 | W |
| P | 辐射功率 | W |
| R_{in} | 黑体响应率 | V/W; A/W |
| R_s | 探测器相对光谱响应率 | V/W |
| R_{cal} | 标准电阻 | Ω |
| R_d | 探测器电阻 | Ω |
| R_L | 负载电阻 | Ω |
| R_0 | 零偏压结电阻 | Ω |
| T | 黑体温度 | K |
| $S(\lambda)$ | 参考探测器的相对光谱响应率 | V/W |
| V_n | 探测器噪声电压 | V |
| V_s | 信号电压 | V |
| Z_d | 探测器阻抗 | Ω |
| τ | 时间常数 | s |
| λ | 辐射波长 | μm |

附加说明：

本标准由中华人民共和国机械电子工业部提出。

本标准由中华人民共和国机械电子工业部第十一研究所、昆明物理所负责起草。

本标准主要起草人胡德明、顾伯奇、陈勤。